

## НОВЫЕ ОГРАНИЧЕНИЯ НА НАРУШЕНИЕ T-ИНВАРИАНТНОСТИ В $\beta$ -РАСПАДЕ

*И.Б.Хриплович*

Получены ограничения на уровне  $10^{-4}$  для мнимых частей констант слабого магнетизма и слабого диполя в  $\beta$ -распаде, которые нарушают  $T$ -инвариантность.

В недавней работе <sup>1</sup> были получены жесткие ограничения для некоторых  $\beta$ -распадных констант, нарушающих  $T$ -инвариантность. Эти ограничения для тензорной, скалярной и псевдоскалярной нуклон-лептонных констант составляют

$$\begin{aligned} \operatorname{Im}(C_T + C'_T) &< 0,5 \cdot 10^{-3}, \\ \operatorname{Im}(C_s + C'_s) &< 4 \cdot 10^{-3}, \\ \operatorname{Im}(C_p + C'_p) &< 0,3 \end{aligned} \quad (1)$$

(в указанном препринте пределы приведены непосредственно для соответствующих кварк-лептонных констант, но их переформулировка на нуклон-лептонные константы очевидна). Здесь мы получим ограничения на нарушающие  $T$ -инвариантность мнимые части констант  $g_m$  и  $g_e$  слабого магнетизма и слабого диполя. В настоящее время прямая экспериментальная информация об этих параметрах отсутствует. В недавнем экспериментальном предложении <sup>2</sup> предполагается достичнуть точности  $10^{-2}$  в измерении соответствующих  $T$ -нечетных корреляций в  $\beta$  распаде ядер с  $A = 8$ .

Запишем обсуждаемое кварк-лептонное  $\beta$ -распадное взаимодействие в виде

$$\frac{G}{\sqrt{2}} \frac{1}{2m_p} [\bar{e}\gamma_\mu(1+\gamma_5)\nu\bar{u}(\tilde{g}_m + \tilde{g}_e\gamma_5)\sigma_{\mu\lambda}k_\lambda d + h.c.]. \quad (2)$$

Здесь  $G$  - фермиевская константа слабого взаимодействия,  $m_p$  - масса протона,  $e, \nu, u, d$  - операторы соответствующих лептонных и кварковых полей. Кварк-лептонные константы  $\tilde{g}_{m,e}$  - снабжены тильдами, чтобы отличить их от соответствующих нуклон-лептонных констант.

В духе подхода работы <sup>1</sup> преобразуем  $\beta$ -распадное взаимодействие (2) в эффективное диагональное кварк-электронное с помощью  $W$ -обмена (см. графики 1, 2). Мы не пытаемся провести здесь последовательный расчет этой радиационной поправки, который является модельно-зависимым. В частности, мы принимаем в своих оценках простую фейнмановскую форму  $\delta_{\mu\nu}/(q^2 - M_W^2)$  для пропагатора

$W$ -бозона, рассчитывая на то, что член  $-q_\mu q_\nu/M_W^2$  в его числите каким-то образом сократится при более аккуратном вычислении. Таким образом мы приходим к эффективному кварк-электронному взаимодействию, ограничения на которое можно извлечь из атомных экспериментов.

$\text{Im}\tilde{g}_e$  - очевидный близкий аналог параметра  $q$   $T$ -нечетного,  $P$ -четного кварк-электронного взаимодействия

$$\frac{G}{\sqrt{2}} \frac{q}{2m_p} \bar{e} \gamma_\mu \gamma_5 e \bar{q} i \gamma_5 \sigma_{\mu\nu} k_\nu q, \quad (3)$$

рассмотренного в <sup>1</sup>. Поскольку  $W$ -обмен по крайней мере столь же эффективен, как и  $Z$ -обмен, использованный в упомянутой работе, отношение индуцированной  $T$ - и  $P$ -нечетной кварк-электронной константы к  $\text{Im}\tilde{g}_e$ , грубо говоря, такое же

$$\sim \frac{\alpha}{\pi} \log \frac{\Lambda^2}{M_W^2} \frac{m_e}{m_p}, \quad (4)$$

как и отношение этой константы к параметру  $q$  взаимодействия (3), рассмотренное в <sup>1</sup>. Здесь  $\alpha = 1/137$ ,  $M_W$  и  $m_e$  - массы  $W$  и электрона соответственно,  $\Lambda$  - параметр обрезания. Стремясь к максимальной консервативности в своих численных оценках, мы полагаем в них  $\log \Lambda^2/M_W^2 \sim 1$ . Таким образом, приходим к той же оценке для  $\text{Im}\tilde{g}_e$ , что и для  $q$ :

$$\text{Im}\tilde{g}_m < 10. \quad (5)$$

Те же диаграммы, но с иной расстановкой векторных и аксиальных вершин,  $\gamma_\mu$  и  $\gamma_5 \gamma_5$ , приводят к аналогичной оценке для ограничения на  $\text{Im}\tilde{g}_m$ :

$$\text{Im}\tilde{g}_m < 10. \quad (6)$$

Ограничения (5), (6) не выглядят особенно впечатляющими. Их можно, однако, существенно улучшить, перейдя от однопетлевых диаграмм 1, 2, индуцирующих эффективное  $T$ - и  $P$ -нечетное взаимодействие, к двухпетлевой диаграмме типа 3, индуцирующей электрический дипольный момент (ЭДМ) кварка. При оценке этих диаграмм мы пренебрежем массами фермионов. Тогда, чтобы индуцировать структуру ЭДМ  $\gamma_5 \sigma_{\mu\nu} F_{\mu\nu}$ , меняющую киральность, нужно поместить вершину  $(\tilde{g}_m + \tilde{g}_e \gamma_5) \sigma_{\mu\nu} k_\nu$ , также меняющую киральность, на нижнюю линию. Другими словами, в замкнутой петле распространяются лептоны, а нижняя линия относится к кваркам.

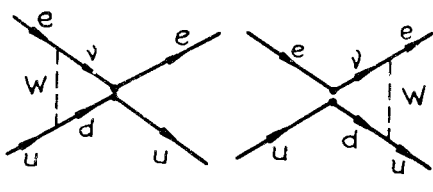


Рис. 1

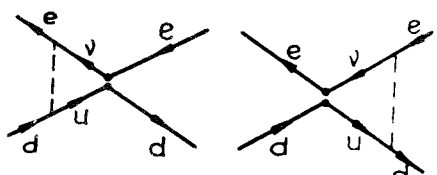


Рис. 2

Простая оценка для ЭДМ кварка, индуцированного этими графиками, такова:

$$d/e \sim \frac{G \Lambda^2}{\sqrt{2}} \frac{\alpha}{a \pi^3} \frac{1}{m_p} \text{Im}(\tilde{g}_m \pm \tilde{g}_e). \quad (7)$$

Здесь  $\Lambda$  - параметр обрезания; мы снова пренебрегаем возможными факторами усиления  $\log \Lambda^2/M_W^2$ . Двухпетлевые диаграммы содержат в качестве геометрического фактора подавления не только  $1/\pi^3$ , но также малое число  $1/a$ , которое, по опыту расчета подобных диаграмм, близко к  $10^{-2}$ . В выражении  $\text{Im}(\tilde{g}_m \pm \tilde{g}_e)$  верхний знак относится к ЭДМ  $u$ -кварка, нижний - к дипольному моменту  $d$ -кварка.

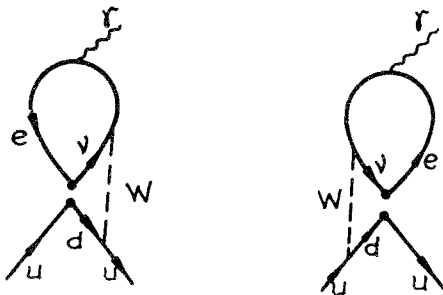


Рис. 3

Простые соображения размерности показывают, что ЭДМ нейтрона, индуцированный дипольным моментом кварка, имеет тот же порядок величины, что и последний. Другими словами, мы получаем ту же оценку (7) для ЭДМ нейтрона. Однако мы не знаем точно относительный вес вкладов  $u$ - и  $d$ -кварка в дипольный момент нейтрона и тем самым относительный вес  $\text{Im}\tilde{g}_m$  и  $\text{Im}\tilde{g}_e$  в последнем. Будем полагать тем не менее, что сильного сокращения между вкладами  $\text{Im}\tilde{g}_m$  и  $\text{Im}\tilde{g}_e$  в ЭДМ нейтрона  $d_n$  нет. Тогда, сравнивая оценку (7) с последним экспериментальным результатом<sup>3</sup>

$$d_n/e < 1,2 \cdot 10^{-25} \text{ см}, \quad (8)$$

приходим к следующему ограничению:

$$\text{Im}\tilde{g}_{m,e} < 10^{-4} \quad (9)$$

даже при достаточно скромном предположении  $\Lambda \sim 100$  ГэВ. Размерные соображения показывают, что те же ограничения, что и (9) для кварк-лептонных  $\beta$ -распадных констант, относятся также и к индуцированным таким образом параметрам нуклонного слабого тока:

$$\text{Im}g_{m,e} < 10^{-4} \quad (10)$$

Что же касается возможных вкладов в  $T$ -нечетные константы  $\text{Im}g_{m,e}$  нуклонного слабого тока от нарушения  $T$ -инвариантности во взаимодействии адронов, то он должен быть еще много меньше, чем (10). Действительно, атомные эксперименты<sup>4,5</sup> дали ограничение на  $T$ - и  $P$ -нечетное нуклон-нуклонное взаимодействие на уровне  $0,1G$ <sup>6</sup>. Грубая оценка для соответствующего относительного вклада в адронные матричные элементы составляет  $0,1Gm_\pi^2 \sim 10^{-8}$  ( $m_\pi$  масса  $\pi$ -мезона). Что же касается  $T$ -нечетного,  $P$ -четного нуклон-нуклонного взаимодействия, ограничения на него, установленного в работе<sup>1</sup>, составляют  $10G$  и  $10^{-4}G$  при одно- и двухпетлевом подходах соответственно, что соответствует относительным примесям на уровне  $10^{-6}$  и  $10^{-11}$ .

Заметим в заключение, что явная зависимость взаимодействия (2) от импульсов, размерность 7 (а не 6) этого оператора, критична для усиления ограничения на пять порядков при переходе от однопетлевого подхода к двух-

петлевому. Такое усиление не происходит для  $T$ -нечетных взаимодействий без производных, т. е. для констант  $\text{Im}C_{T,S,P}$ .

Я благодарен Л. де Брэкелеру, который привлек мое внимание к обсуждаемому вопросу.

### Литература

1. *Khriplovich I.B.* Preprint 90-69, Novosibirsk, 1990.
2. *De Braeckeleer L., Adelberger E.G.* A Proposal: Precision Tests of Time-Reversal Invariance..., University of Washington, Seattle.
3. *Smith K.F. et al* Phys. Lett., 1990, B'234, 191.
4. *Lamoreaux S.K. et al* Phys. Rev. Lett., 1987, 59, 2275.
5. *Cho D., Sangster K., Hinds E.A.* Phys. Rev. Lett., 1989, 63 2559.
6. *Khatsymovsky V.M., Khriplovich I.B., Yelkhovsky A.S.* Ann. Phys., 1988, 186, 1.

Институт ядерной физики Сибирского отделения  
Академии наук СССР

Поступила в редакцию  
8 октября 1990 г.